

## مقایسه‌ی تأثیر دو عامل Transforming Growth Factor Beta1 (TGF-β1) و پیپاسکلیدین بر بیان ژن‌های کلاژن II، X و اگریکان در روند کندروژنز سلول‌های بنیادی مشتق از چربی انسان در داربست کامپوزیتی فیبرین آلژینات

هادی دیده‌ور<sup>۱</sup>، فرهاد گلشن ایران‌پور<sup>۲</sup>، علی والیانی<sup>۳</sup>، بتول هاشمی بنی<sup>۴</sup>، مجتبی اسماعیلی<sup>۱</sup>

### مقاله پژوهشی

### چکیده

**مقدمه:** آسیب‌های بافت غضروف در کشورهای پیشرفته، مهم‌ترین علت ناتوانی در سالمندان است. علاوه بر آن، غضروف مفصلی توانایی محدودی در ترمیم دارد. روش‌های درمانی رایج قادر به ترمیم این آسیب‌ها نمی‌باشد؛ چرا که منجر به ایجاد بافت فیبروزی در غضروف می‌شوند. سلول درمانی، یکی از روش‌های درمان است که در آن، سلول‌های بنیادی با کمک مهندسی بافت می‌توانند به کندروسیت تمایز یابند و جهت دستیابی به این هدف، از عوامل رشد و داربست‌ها استفاده می‌شود. به دلیل هایپرتروفه شدن بافت غضروف و عدم پایداری داربست‌ها، ضرورت دستیابی به عوامل القا کننده و داربست مناسب احساس می‌گردد. بر اساس مطالعات، فیبرین آلژینات از لحاظ پایداری و کشسانی (Elasticity) مناسب است و پیپاسکلیدین، باعث افزایش بیان ژن‌های مخصوص غضروف می‌گردد. از این رو، در تحقیق حاضر، تأثیر پیپاسکلیدین و Transforming growth factor beta1 (TGF-β1) بر القای کندروژنز سلول‌های بنیادی در داربست فیبرین آلژینات مورد مقایسه قرار گرفت.

**روش‌ها:** Adipose derived stem cells (ADSCs) از بافت چربی سه بیمار استخراج و تکثیر داده شد. سپس به مدت ۲۱ روز در داربست فیبرین آلژینات تحت تأثیر مدیوم کندروژنیک کشت داده شدند. میزان تکثیر و بقای سلول‌ها به روش MTT [3-(4,5-dimethylthiazol-2-yl)-2,5-diphenyltetrazolium-bromide] و میزان بیان ژن‌های اگریکان، کلاژن II و X با استفاده از تکنیک Real-time polymerase chain reaction (Real-time PCR) مورد ارزیابی قرار گرفت.

**یافته‌ها:** میزان تکثیر و بقا در داربست فیبرین آلژینات، در گروه حاوی پیپاسکلیدین نسبت به سایر گروه‌ها، افزایش داشت؛ اما این افزایش به صورت معنی‌دار نبود ( $P > 0.05$ ). همچنین، پیپاسکلیدین باعث افزایش میزان بیان ژن کلاژن II ( $P < 0.001$ ) و کاهش میزان بیان ژن کلاژن X در مقایسه با TGF-β1 گردید.

**نتیجه‌گیری:** احتمال می‌رود پیپاسکلیدین در روند القای کندروژنز ADSCs در داربست فیبرین آلژینات مؤثر بوده و بر افزایش بیان ژن‌های ویژه‌ی غضروف تأثیر داشته باشد.

**واژگان کلیدی:** سلول بنیادی، پیپاسکلیدین، کندروژنز، Transforming growth factor beta1

**ارجاع:** دیده‌ور هادی، گلشن ایران‌پور فرهاد، والیانی علی، هاشمی بنی بتول، اسماعیلی مجتبی. **مقایسه‌ی تأثیر دو عامل Transforming Growth Factor Beta1 (TGF-β1) و پیپاسکلیدین بر بیان ژن‌های کلاژن II، X و اگریکان در روند کندروژنز سلول‌های بنیادی مشتق از چربی انسان در داربست کامپوزیتی فیبرین آلژینات.** مجله دانشکده پزشکی اصفهان ۱۳۹۵؛ ۳۴ (۳۷۳): ۱۶۵-۱۵۷

ترمیم ضایعات غضروفی با محدودیت زیادی روبه‌رو است (۱-۲).

مهندسی بافت که ترکیبی از اصول مهندسی و دانش زیست‌شناختی است، به دنبال دستیابی به داربست‌ها و عوامل مناسب برای تحریک تولید غضروف مفصلی است که بتواند آن را به منظور درمان آسیب‌های مفصلی به بدن انتقال دهد (۳). در مهندسی بافت، از

### مقدمه

غضروف مفصلی، یکی از بافت‌های همبند اختصاصی است که شامل کندروسیت و ماتریکس خارج سلولی است و ممکن است به دلایل مختلف از جمله استئوآرتریت دچار آسیب شود. از آن جایی که در بافت غضروف، عروق خونی و اعصاب وجود ندارد و تغذیه‌ی سلول‌ها از طریق انتشار انجام می‌شود، از این رو،

۱- دانشجوی کارشناسی ارشد، گروه علوم تشریح، دانشکده‌ی پزشکی و کمیته‌ی تحقیقات دانشجویی، دانشگاه علوم پزشکی اصفهان، اصفهان، ایران

۲- استادیار، گروه علوم تشریح، دانشکده‌ی پزشکی، دانشگاه علوم پزشکی اصفهان، اصفهان، ایران

۳- دانشیار، گروه علوم تشریح، دانشکده‌ی پزشکی، دانشگاه علوم پزشکی اصفهان، اصفهان، ایران

پیاسکلیدین تهیه شده از عصاره‌ی آواکادو و سویا به نسبت ۱ (آواکادو) به ۳ (سویا) به صورت غیر صابونی (ASU) یا (Avocado-soybean unsaponifiables)، در بیماری‌های مفصلی به ویژه استئوآرتریت برای کاهش درد و تورم مفصل استفاده می‌شود (۱۴). پیاسکلیدین، با اثر مهارری روی کلاژناز نوع II و پروستاگلاندین و اثر تحریکی روی سنتز پروتئوگلیکان‌ها و کلاژن و نیز کاهش سنتز فیرونکتین، به بازگرداندن ساختمان غضروف به حال طبیعی کمک می‌کند. به علاوه، پیاسکلیدین اثر مهارری بر Interleukin-1 beta (IL-1 $\beta$ ) دارد و سبب تحریک سنتز کلاژن II در کندروسیت‌ها می‌گردد (۱۵)؛ همچنین، تولید TGF- $\beta$ 1 را نیز تحریک می‌کند (۱۶).

از آن جایی که در روند کندروژنز اثرات منفی TGF- $\beta$ s و هاپیروتروفه شدن بافت غضروفی و ضعیف بودن داربست‌ها مطرح است، در این تحقیق، تأثیر ترکیب گیاهی پیاسکلیدین بر روند القای کندروژنز سلول‌های بنیادی مشتق از چربی انسانی در داربست فیبرین آلژینات با عامل رشد TGF- $\beta$ 1 مورد مقایسه قرار گرفت.

### روش‌ها

بافت چربی زیر جلدی انسانی از سه نفر با سن ۲۵-۴۰ سال پس از اخذ رضایت کتبی از بیمارستان تهیه شد. پس از توزین، بافت تحت شرایط استریل به قطعات چند میلی‌متری تقسیم شد. جهت تجزیه‌ی بافت، از آنزیم کلاژناز نوع IA (Sigma) به میزان ۱/۵ میلی‌گرم به ازای هر گرم بافت چربی استفاده شد. پس از اضافه شدن مقدار مناسب آنزیم، نمونه‌ها در دمای ۳۷ درجه‌ی سانتی‌گراد به مدت ۳۰ دقیقه انکوبه شدند.

پس از تجزیه شدن کامل بافت، هم حجم محلول آنزیم، محیط کشت شامل (Gibco) Penicillin/Streptomycin ۱ درصد + (Gibco) (DMEM) Dulbecco's Modified Eagle Medium + (Sigma) (FBS) Fetal bovine serum ۱۰ درصد جهت خشتی کردن فعالیت آنزیم به سوسپانسیون سلولی اضافه شد. سپس، سوسپانسیون در لوله‌های فالكون ۱۵ میلی‌لیتری به مدت ۱۵ دقیقه با شتاب ۱۴۰۰ دور در دقیقه سانتریفوژ شد و مایع رویی همراه با آدیپوسیت‌ها تخلیه گردید.

در پایان، رسوب سلولی حاصل در فلاسک ۲۵ سانتی‌متر مربع در محیط کشت (Gibco) Penicillin/Streptomycin ۱ درصد + FBS (Sigma) ۱۰ درصد + (Gibco) DMEM در انکوباتور ۳۷ درجه‌ی سانتی‌گراد، (CO<sub>2</sub>) Carbon dioxide ۵ درصد و رطوبت نسبی کشت داده شد (۱۵). با تعویض محیط کشت بعد از ۲۴ ساعت، سلول‌های اضافی تخلیه گردید (شکل ۱).

منابع سلولی مختلفی نظیر سلول‌های بنیادی مشتق از چربی و سلول‌های بنیادی مغز استخوان استفاده می‌شود.

در گذشته، سلول‌های بنیادی مشتق از مغز استخوان به عنوان اصلی‌ترین منبع، برای مهندسی بافت محسوب می‌شدند، اما امروزه سلول‌های بنیادی مشتق از بافت چربی به دلیل روش دستیابی آسان و حالت تهاجمی کم و پتانسیل کندروژنیک بالا، به عنوان یکی از منابع سلول‌های بنیادی در مهندسی بافت به صورت گسترده استفاده می‌شوند (۴). بنا بر این، در مطالعه‌ی حاضر، سلول‌های بنیادی از بافت چربی زیر جلدی انسانی ناحیه‌ی شکم جدا و کشت گردید و برای القای کندروژنز مورد استفاده قرار گرفت.

مواد زیستی، نقش اساسی در مهندسی بافت دارند. جهت ترمیم یا درمان بافت‌ها، از داربست‌های طبیعی و مصنوعی استفاده می‌شود (۵). داربست باید زیست‌تخریب‌پذیر، زیست‌سازگار و متخلخل باشد و شرایط مناسب برای چسبندگی، تکثیر و مهاجرت سلولی را فراهم کند (۶-۷).

داربست کامپوزیتی فیبرین آلژینات، یکی از داربست‌های طبیعی است که از زیست‌سازگاری و پایداری مناسبی برخوردار است و تهیه‌ی آن نیز آسان است. این داربست، از ترکیب فیبرین و آلژینات به دست می‌آید (۸). داربست فیبرین از فیبرینوژن و ترومبین ساخته می‌شود و از لحاظ سازگاری زیستی، مناسب است و خاصیت ویسکو الاستیسیته‌ی (Viscoelasticity) منحصر به فردی دارد، اما از لحاظ پایداری ضعیف است و سریع تخریب می‌شود (۹).

با ترکیب این داربست با آلژینات، می‌توان پایداری داربست را افزایش داد. آلژینات، از جلبک‌های قهوه‌ای به دست می‌آید و در حالت ژل، دارای تخلخل است و انتشار ماکرومولکول‌ها را تسهیل می‌نماید، اما از لحاظ خاصیت کشسانی (Elasticity) ضعیف و شکننده است؛ با ترکیب این داربست با فیبرین، می‌توان کشسانی آن را افزایش داد (۱۰).

عوامل رشد، نقش مهمی را در تکثیر، آپوپتوز و تمایز سلولی و همچنین، تنظیم چرخه‌ی سلولی و سیستم ایمنی دارند. از میان این عوامل، می‌توان به خانواده‌ی (TGF- $\beta$ ) Transforming growth factor beta اشاره کرد که به طور وسیعی در مهندسی بافت غضروف استفاده می‌شود. مطالعات نشان داده است، این عوامل موجب بیان یک سری از ژن‌ها از جمله کلاژن II و اگرکان و ساخت گلیکوز آمینو گلیکان‌ها می‌شوند (۱۱-۱۲). TGF- $\beta$ s اثر القا کننده در کندروژنز (BM-MSCs) Bone marrow mesenchymal stem cells و (ADSCs) Adipose derived stem cells دارند. با این حال، عوامل رشد علاوه بر قیمت زیاد و نیمه‌ی عمر کوتاه (۲۴-۷۲ ساعت)، بر هاپیروتروفه شدن کندروسیت‌ها نیز تأثیر دارند (۱۳).

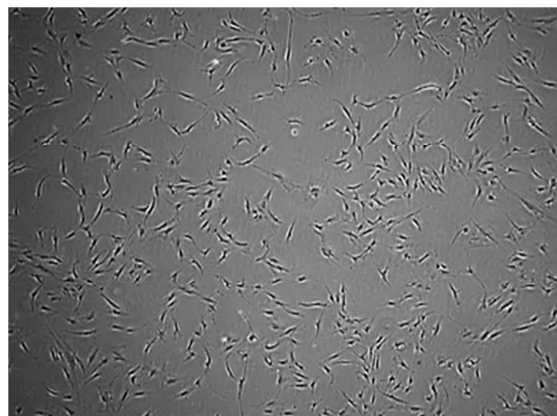
بانک خون استان اصفهان تهیه گردید و به مدت ۱۰ دقیقه در بن‌ماری در دمای ۳۷ درجه‌ی سانتی‌گراد قرار داده شد و سپس سطح خارجی کیسه با الکل ۷۰ درصد ضد عفونی گردید و تحت شرایط استریل با استفاده از سرنگ ۱۰ سی‌سی، محتویات درون آن کشیده شد (۱۸).

تهیه‌ی آژینات: جهت تهیه‌ی آژینات، ۱/۵ گرم پودر آژینات (Sigma) در ۱۰۰ میلی‌لیتر کلرید سدیم ۰/۹ درصد حل گردید و سپس با فیلتر ۰/۲ میکرومتر استریل شد (۱۹).

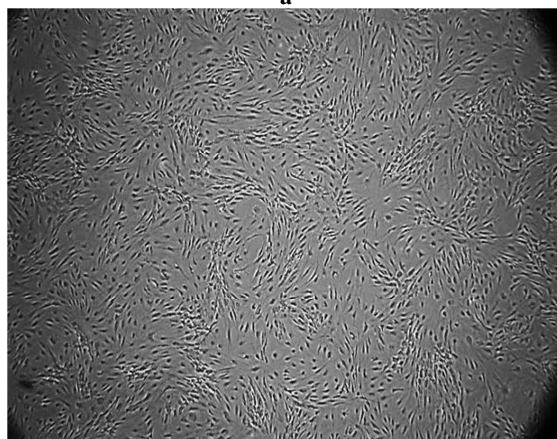
انتقال سلول‌ها به داربست فیبرین آژینات: پس از جدا کردن سلول‌های حاصل از پاساژ سوم از فلاسک‌ها، سوسپانسیون سلولی شمارش شد. به ازای هر ۵ میلیون سلول، ۱ سی‌سی آژینات ۱/۵ درصد اضافه شد. سپس، سوسپانسیون سلول-آژینات به آرامی از طریق نیدل Gauge ۲۳ به محلول ۱۰۲ میلی‌مولار کلسیم کلرید (Merck) موجود در پلیت ۲۴ خانه اضافه شد. پس از این که محلول را به مدت ۵ دقیقه در دمای اتاق قرار دادیم، بیدهای آژینات تشکیل گردید. آن گاه، کلسیم کلرید خارج شد و بیدها سه مرتبه با استفاده از سدیم کلرید ۰/۹ درصد شستشو شدند (۱۹). سپس، به هر خانه ۳۰۰ میکرولیتر فیبرینوژن و ۳۰۰ میکرولیتر ترومبین اضافه گردید. پس از چند دقیقه، لخته‌ی فیبرین حاوی آژینات بید-سلول تشکیل شد.

تمایز کندروژنیک روی داربست فیبرین آژینات: تعداد  $1 \times 10^6$  سلول بنیادی کشت شده در داربست فیبرین آژینات تحت تأثیر محیط کشت القای کندروژنیک حاوی DMEM high glucose (Gibco)، Penicillin/Streptomycin (Gibco) ۱ درصد، Transferrin Insulin (Sigma)، Dexamethasone (Sigma)  $10^{-8}$  و Bovine serum albumin (ITS) Selenium (Sigma) ۱ درصد (BSA) ۱ درصد (Sigma)، ۵۰ میکروگرم بر میلی‌لیتر = Ascorbate 2 phosphate (ASP) (Sigma) و ۵ میکروگرم بر میلی‌لیتر Linoleic acid (Sigma) به کندروسیت تمایز داده شد. در گروه اول محیط کشت کندروژنیک دارای ۱۰ نانوگرم بر میلی‌لیتر TGF- $\beta$ 1، در گروه دوم محیط کشت کندروژنیک دارای ۱۰ میکروگرم بر میلی‌لیتر Piasclidin و در گروه سوم محیط کشت کندروژنیک دارای هر دو عامل پیش‌گفته و مدت القای محیط کشت، ۲۱ روز بود.

روش انجام تکنیک MTT: در روز ۲۱، ابتدا محیط کشت چاهک‌ها تخلیه گردید و داربست با Phosphate buffered saline (PBS) شستشو داده شد. سپس ۴۰۰ میکرولیتر DMEM high glucose خالص و ۴۰ میکرولیتر محلول ۵ میلی‌گرم بر میلی‌لیتر [3 (4, 5-dimethylthiazol-2-yl)-2, 5-diphenyltetrazolium-bromide] (MTT) (Sigma) اضافه شد و به مدت ۴ ساعت در انکوباتور با حرارت ۳۷ درجه‌ی سانتی‌گراد و  $CO_2$  ۵ درصد قرار داده شد. سپس،



a



b

شکل ۱. تصویر میکروسکوپ اینورت از سلول‌های بنیادی مشتق از چربی زنده در کشت تک لایه‌ای در پاساژ سوم (بزرگ‌نمایی  $\times 40$ ) (a: روز دوم و b: روز ششم)

تهیه‌ی ترکیب گیاهی پیاسکلیدین: یک کپسول ۳۰۰ میلی‌گرمی محتوی ترکیب گیاهی پیاسکلیدین (پرایین پارس) در ۳۰ میلی‌لیتر اتانول خالص حل گردید تا غلظت ۱۰ میلی‌گرم بر میلی‌لیتر به عنوان محلول ذخیره به دست آید. سپس جهت القای تمایز با استفاده از محیط کشت غلظت ۱۰ میکروگرم بر میلی‌لیتر تهیه شد.

تهیه‌ی ترومبین: جهت تهیه‌ی ترومبین، یک کیسه Fresh frozen plasma (FFP) از بانک خون استان اصفهان تهیه شد. سپس محتویات آن در داخل دستگاه بن ماری ذوب گردید. آن گاه، با سرنگ، محتویات داخل کیسه به داخل لوله‌ی فالکون ۵۰ میلی‌لیتری منتقل و به هر لوله‌ی فالکون ۱ و ۱۰ میلی‌لیتری آمپول گلوکونات کلسیم اضافه شد. پس از ۹۰-۶۰ دقیقه انکوباسیون، با شتاب ۱۴۰۰ به مدت ۸ دقیقه سانتریفوژ گردید. محلول رویی حاوی ترومبین در حجم ۱ میلی‌لیتر الیکوت و در دمای ۸۰- درجه‌ی سانتی‌گراد نگهداری شد (۱۷).

تهیه‌ی فیبرینوژن: کیسه‌ی Cryoprecipitate به صورت آماده از

جدول ۱. ژن‌ها و پرایمرهای به کار رفته در

**(Real-time PCR) Real-time polymerase chain reaction**

نام ژن	توالی پرایمرها
Col II-F	CTGGTGATGATGGTGAAG
Col II-R	CCTGGATAACCTCTGTGA
Agre-F	GTGGGACTGAAGTCTTG
Agre-R	GTTGTCATGGTCTGAAGTT
GAPDH-F	AAGCTCATTTCCTGGTATG
GAPDH-R	CTTCTCTTGTGCTCTTG
Col X-F	AGAATCCATCTGAGAATATGC
Col X-R	AGAATCCATCTGAGAATATGC

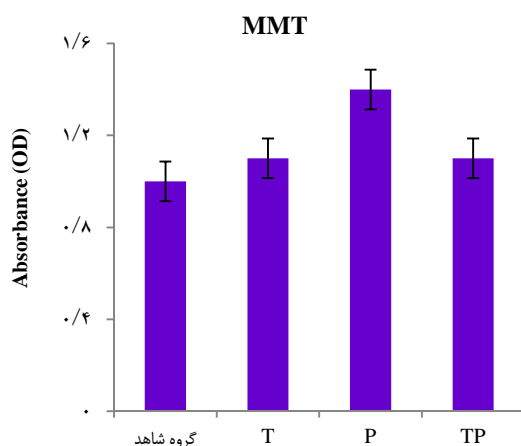
F: Forward; R: Revers; Col II: Type II Collagen; Agre: Aggrecan; Col X: Type X Collagen; GAPDH: Glyceraldehyde 3-phosphate dehydrogenase

از آزمون Kolmogorov-Smirnov برای بررسی طبیعی بودن توزیع داده‌ها، و برای آنالیز داده‌ها از آزمون‌های One-way ANOVA و LSD post hoc (Least significant difference) و نرم‌افزار آماری SPSS (SPSS Inc., Chicago, IL) استفاده گردید.

**یافته‌ها**

**بررسی نتایج بقا و تکثیر سلول‌های بنیادی**

به دنبال استفاده از محلول MTT، مشخص شد پیاسکلیدین، میزان تکثیر و بقای ADSCs تمایز یافته به کندروسیت را افزایش داد، اما تفاوت معنی‌داری بین گروه‌ها با گروه شاهد دیده نشد ( $P > 0.05$ ) (شکل ۲).



**شکل ۲. مقایسه‌ی نتایج MTT [4,5-dimethylthiazol-2-yl]-**

**2,5-diphenyltetrazolium-bromide** در گروه‌های مورد مطالعه؛

تفاوت معنی‌داری بین این گروه‌ها با گروه شاهد وجود ندارد

( $P > 0.05$ ).

T: TGF- $\beta$ 1; P: Piasclidine; TP: TGF- $\beta$ 1 + piasclidine

مایع تخلیه و ۴۰۰ میکرولیتر Dimethyl sulfoxide (DMSO) (Sigma) به چاهک‌ها اضافه گردید و به مدت دو ساعت در تاریکی و دمای اتاق قرار داده شد. در انتها، ۱۰۰ میکرولیتر از هر چاهک، به پلیت ۹۶ خانه منتقل و میزان جذب نوری (Optical density یا OD) با دستگاه (Hyperion MPR4) (Enzyme-linked immunosorbent assay) ELISA Reader طول موج ۵۷۰ نانومتر خوانده شد. برای هر نمونه سه بار تکرار (Triplicate) صورت گرفت (۲۱-۲۰).

**Real-time polymerase chain reaction**

روش انجام تکنیک (Real-time PCR): از روش Real-time PCR، برای ارزیابی بیان ژن‌های مربوط به مولکول‌های ماتریکس ویژه‌ی غضروف استفاده شد. در روز ۲۱، ابتدا داربست فیبرین آلژینات با PBS شستشو داده شد. سپس، جهت تجزیه‌ی بدهای آلژینات، ۵۵ میلی‌مولار سدیم سیترات ۱/۵ درصد (Sharlau) و ۰/۹ درصد سدیم کلرید (Merck) اضافه گردید و محلول حاصل به مدت ۱۰ دقیقه و با شتاب ۱۲۰۰ دور در دقیقه سانتریفوژ گردید.

سلول‌های حاصل، جهت استخراج RNA با کیت RNeasy mini kit (Qiagen, Cat. No. 74101) مورد استفاده قرار گرفتند. ساخت Complementary DNA (cDNA) با استفاده از پرایمرهای Oligo و RevertAid™ First Strand cDNA synthesis kit انجام شد؛ به این ترتیب که ۱۰ میکرولیتر RNA استخراج شده، ۱ میکرولیتر Ribonuclease inhibitor، Oligo، Deoxynucleoside triphosphate (dNTP) و آنزیم Reverstanscriptase به کار رفت. برای تکثیر cDNAهای ساخته شده، ۱۰ x buffer به میزان ۲/۵ میکرولیتر، dNTP ۱۰ میلی‌مولار به مقدار ۰/۵ میکرولیتر، FPrimer به میزان ۱ میکرولیتر، Rprimer به میزان ۱ میکرولیتر، نمونه‌ی DNA تهیه شده به میزان ۲ میکرولیتر، Taq polymerase enzyme به میزان ۰/۵ میکرولیتر و dd H2O افزوده شد تا حجم نهایی به ۲۵ میکرولیتر رسید.

سپس، تکثیر در چند برنامه انجام شد. برنامه‌ی اول برای Denaturation در دمای ۹۵ درجه‌ی سانتی‌گراد به مدت ۱۰ دقیقه شروع شد. Denaturation در ۹۵ درجه‌ی سانتی‌گراد برای ۱۵ ثانیه، Annealing در دمای ۶۰ درجه‌ی سانتی‌گراد برای یک دقیقه و Extension در ۷۲ درجه‌ی سانتی‌گراد برای یک دقیقه ادامه یافت. کل این فرایندها در ۴۰ چرخه صورت گرفت (۲۴-۲۲).

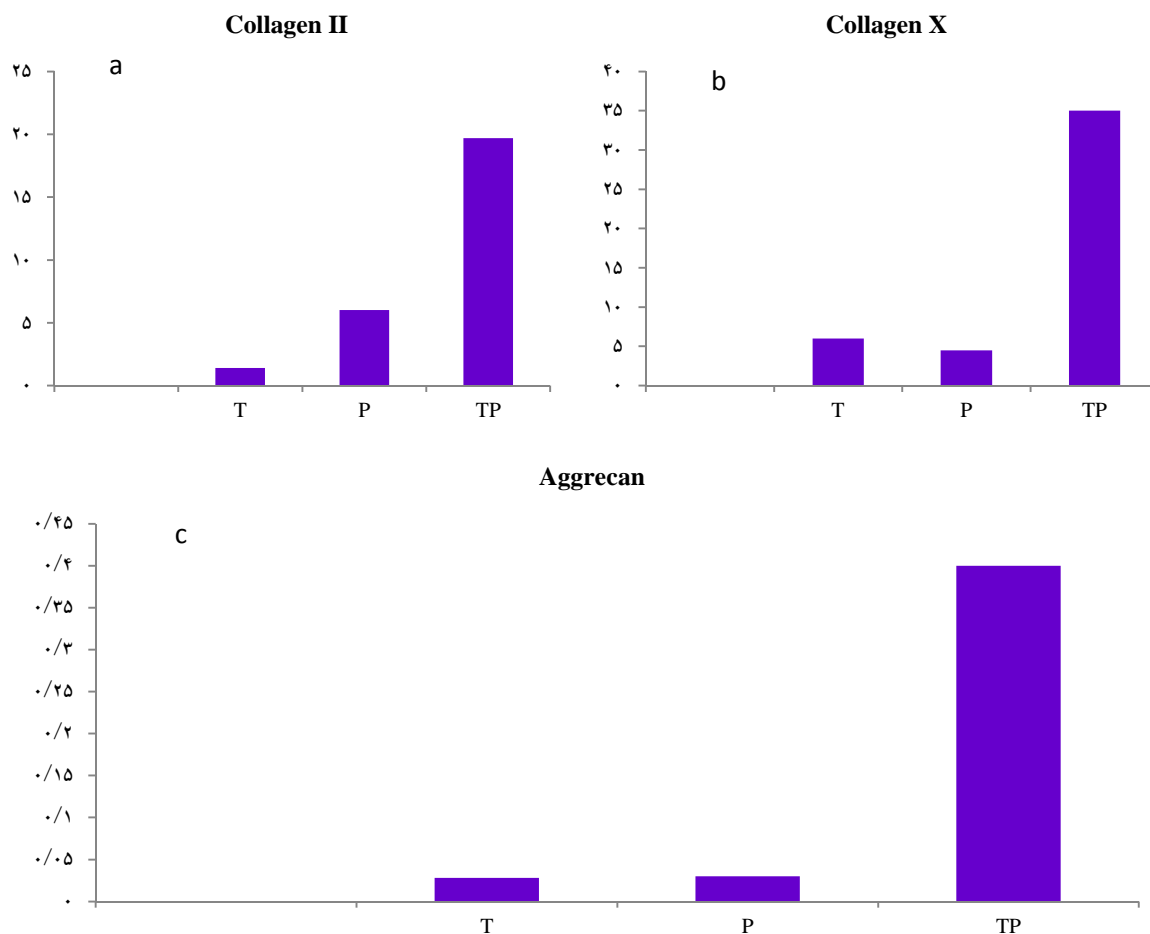
در پایان، منحنی ذوب (Melt curve) رسم شد. این برنامه برای هر سه ژن به کار رفت. همه‌ی پرایمرهای مورد استفاده در Real-time PCR، با به کارگیری نرم‌افزار Allele ID 7.6 طبق جدول ۱ طراحی شد.

## Real-time PCR

نتایج Real-time PCR نشان داد که بیان ژن کلاژن II در روز ۲۱ در گروه TGF- $\beta$ 1 + پیاسکلیدین نسبت به گروه TGF- $\beta$ 1 به تنهایی، حدود ۱۴ برابر و بیان این ژن در گروه پیاسکلیدین در مقایسه با گروه TGF- $\beta$ 1 حدود ۵ برابر بود ( $P < 0/001$ ) (شکل ۳-a). بیان ژن کلاژن X در گروه پیاسکلیدین کمتر از گروه TGF- $\beta$ 1 شد ( $P > 0/050$ ) (شکل ۳-b). همچنین، بیان ژن آگریکان در گروه TGF- $\beta$ 1 و گروه پیاسکلیدین به طور تقریبی با هم برابر شد و بیان این ژن در گروه TGF- $\beta$ 1 + پیاسکلیدین نسبت به گروه‌های TGF- $\beta$ 1 و پیاسکلیدین حدود ۱۳ برابر بیشتر گردید ( $P < 0/001$ ) (شکل ۳-c).

## بحث

در مهندسی بافت، جهت طراحی بافت غضروف وجود تراکم سلولی بالا و تعامل بین سلولی مناسب، ضروری است و از طریق کشت سلول‌ها بر روی داربست سه بعدی، می‌توان تعامل بین سلولی مناسب جهت القای کندروژنز را فراهم کرد. لازم به ذکر است که عوامل رشد نیز جهت القای کندروژنز ضروری هستند (۲۶-۲۵). جهت تمایز کندروژنیک، از داربست‌های گوناگونی استفاده شده است که هر یک، معایب و مزایایی دارند. داربست‌های مصنوعی، زیست‌سازگاری خوبی ندارند و تهیهی آن‌ها مشکل است، اما از لحاظ ویژگی‌های مکانیک مناسب هستند. داربست‌های طبیعی نیز دارای معایبی نظیر پایداری کم هستند (۲۸-۲۷).



شکل ۳. نتایج Real-time polymerase chain reaction (Real-time PCR) برای ژن کلاژن II (a)، کلاژن X (b) و آگریکان (c) در روز ۲۱. مقادیر میانگین  $\pm$  انحراف معیار مربوط به سه آزمایش است.

علامت \*\*\* نشان دهندهی معنی‌دار بودن اختلاف گروه‌ها با یکدیگر است ( $P < 0/001$ )، (a): هر سه گروه نسبت به یکدیگر اختلاف معنی‌داری دارند. (b): اختلاف گروه پیاسکلیدین و TGF- $\beta$ 1 با دو گروه دیگر معنی‌دار است. (c): اختلاف گروه پیاسکلیدین و TGF- $\beta$ 1 با دو گروه دیگر معنی‌دار است. P: گروه تحت تأثیر پیاسکلیدین؛ T: گروه تحت تأثیر TGF- $\beta$ 1؛ TP: گروه تحت تأثیر پیاسکلیدین و TGF- $\beta$ 1. (RQ) Relative quantity: نشان دهندهی میزان نسبی بیان ژن‌ها است.

نسبت به گروه دارای TGF- $\beta$ 1 بیشتر می‌باشد و بیان ژن آگریکان در گروه حاوی پیاسکلیدین نسبت به گروه دارای TGF- $\beta$ 1 به طور تقریبی برابر است. لازم به ذکر است جهت دستیابی به غضروف هیالین، باید در شرایط القای کندروژنز سلول‌های بنیادی، بیان ژن کلاژن نوع X کاهش یابد تا از هایپرتروفه شدن جلوگیری به عمل آید.

در مطالعه‌ی حاضر مشخص شد که بیان این ژن در گروه پیاسکلیدین کمتر از گروه TGF- $\beta$ 1 بوده است. با مقایسه‌ی بیان ژن‌های آگریکان، کلاژن II و X، می‌توان به این نتیجه پی برد که پیاسکلیدین، قادر است بهتر و بیشتر از عامل رشد TGF- $\beta$ 1 در القای سلول‌های بنیادی مزانشیمی بافت چربی مؤثر واقع شود. لازم به ذکر است در زمینه‌ی بررسی تأثیر پیاسکلیدین در تمایز سلول‌های بنیادی تا زمان اجرای مطالعه‌ی حاضر، مطالعه‌ی منتشر نشده بود.

همچنین، مطالعه‌ی حاضر نشان می‌دهد که TGF- $\beta$ 1 به همراه پیاسکلیدین در بیان ژن‌های کلاژن II و آگریکان تأثیر بسیار چشمگیری داشته است؛ به طوری که میزان بیان ژن کلاژن نوع II در گروه TGF- $\beta$ 1 به همراه پیاسکلیدین به میزان ۳ برابر بیشتر از گروه حاوی پیاسکلیدین و ۱۴ برابر بیشتر از گروه حاوی TGF- $\beta$ 1 است و همچنین، میزان بیان ژن آگریکان در گروه TGF- $\beta$ 1 به همراه پیاسکلیدین، به میزان ۱۳ برابر بیشتر از گروه‌های TGF- $\beta$ 1 و پیاسکلیدین است. بر اساس این نتایج، احتمال می‌رود پیاسکلیدین اثر تحریکی روی TGF- $\beta$ 1 داشته باشد. این یافته‌ها با نتایج مطالعه‌ی Altinel و همکاران همخوانی دارد (۳۵).

همراهی دو عامل TGF- $\beta$ 1 و پیاسکلیدین، همچنین باعث افزایش بیان ژن کلاژن X -عامل هایپرتروفه شدن کندروسیت‌ها- به میزان ۷ برابر نسبت به پیاسکلیدین شد که این اثر منفی نیز به دلیل وجود TGF- $\beta$ 1 می‌باشد.

از تحقیق حاضر، می‌توان نتیجه گرفت که سلول‌های بنیادی مشتق از بافت چربی در داربست فیبرین آلژینات، تحت تأثیر پیاسکلیدین قابلیت تمایز به کندروسیت‌هایی را دارند که ژن‌های ویژه غضروف‌ساز مانند کلاژن نوع II و آگریکان را بیان می‌کنند. این نتایج نشان می‌دهد که این ترکیب گیاهی در مقایسه با عامل رشد TGF- $\beta$ 1 تأثیر بهتری در روند القای کندروژنز دارد.

### تشکر و قدردانی

مقاله‌ی حاضر حاصل پایان‌نامه‌ی دوره‌ی کارشناسی ارشد هادی دیده‌ور با شماره‌ی ۳۹۴۲۶۳ در دانشگاه علوم پزشکی اصفهان است. از معاونت پژوهش و فناوری دانشگاه علوم پزشکی اصفهان جهت حمایت و تأمین بودجه‌ی این طرح سپاسگزاری می‌گردد.

داربست کامپوزیتی فیبرین آلژینات، یکی از داربست‌های طبیعی است که از زیست‌سازگاری و پایداری مناسبی برخوردار است و تهیه‌ی آن نیز آسان است. این داربست، از ترکیب داربست فیبرین و آلژینات به دست می‌آید (۲۹). داربست فیبرین، از فیبرینوژن و ترومبین ساخته می‌شود و از لحاظ سازگاری زیستی، مناسب است و خاصیت ویسکوالاستیک منحصر به فردی دارد؛ اما از لحاظ پایداری ضعیف است و سریع تخریب می‌شود. با ترکیب این داربست با آلژینات، می‌توان پایداری داربست را افزایش داد (۳۰-۲۹).

آلژینات، از جلبک‌های قهوه‌ای یا از کپسول‌های پلی‌ساکاریدی باکتری‌ها به دست می‌آید. پلی‌ساکارید طبیعی آلژینات، در شرایط آزمایشگاه بدون نیاز به وجود حلال‌های آلی به راحتی به حالت ژل در می‌آید و تهیه‌ی آن نیاز به تغییر pH، حرارت یا فعال‌کننده‌های سمی ندارد و در حالت ژل، دارای تخلخل است و انتشار ماکرومولکول‌ها را تسهیل می‌نماید، اما از لحاظ خاصیت کشسانی ضعیف و شکننده است که با ترکیب این داربست با فیبرین، می‌توان کشسانی آن را افزایش داد (۳۳-۳۱).

در واقع، جهت ایجاد تعادل بین روند تخریب‌پذیری و خاصیت کشسانی، می‌توان از ترکیبی از فیبرین و آلژینات به عنوان ماده‌ی زمینه‌ی خارج سلولی بستری مناسب برای رشد سلول‌ها فراهم نمود. Ma و همکاران برای کندروژنز سلول‌های Bone marrow stromal cells (BMSCs) از داربست ترکیبی فیبرین آلژینات استفاده کردند و نشان دادند که فیبرین، قدرت کشسانی داربست و همچنین، تکثیر سلولی را افزایش می‌دهد و آلژینات، ثبات و بیان ژن‌های کندروسیت و تولید اجزای ماتریکس خارج سلولی را پس از تمایز افزایش می‌دهد (۳۴).

در مطالعه‌ی حاضر، زمانی که پیاسکلیدین، TGF- $\beta$ 1 و ترکیب هر دوی آن‌ها در سه محیط کشت جداگانه اضافه شدند، میزان تکثیر و بقا در گروه پیاسکلیدین نسبت به گروه‌های دیگر بیشتر گردید؛ اما این افزایش، معنی‌دار نبود ( $P > 0/050$ ).

نتایج به دست آمده، مشابه نتایج مطالعات Shikanov و همکاران (۸) و نیز Ma و همکاران (۳۴) بود؛ آن‌ها مشخص نمودند که بقا و تکثیر BMSCs در داربست فیبرین آلژینات حفظ می‌شود.

در تحقیق حاضر، آنالیز Real-time PCR برای بیان ژن‌های کلاژن II و X و آگریکان برای سلول‌های بنیادی مشتق از چربی پس از کشت در محیط کشت کندروژنیک طی ۲۱ روز در داربست فیبرین آلژینات در حضور پیاسکلیدین، TGF- $\beta$ 1 و ترکیب هر دوی آن‌ها به صورت جداگانه مورد ارزیابی قرار گرفت. در نهایت، مشخص شد که بیان ژن کلاژن نوع II به میزان ۵ برابر در گروه حاوی پیاسکلیدین

## References

- Hardingham T, Tew S, Murdoch A. Tissue engineering: Chondrocytes and cartilage. *Arthritis Res* 2002; 4(Suppl 3): S63-S68.
- Mitchell N, Shepard N. The resurfacing of adult rabbit articular cartilage by multiple perforations through the subchondral bone. *J Bone Joint Surg Am* 1976; 58(2): 230-3.
- Mardani M, Hashemibeni B, Ansar MM, Zarkesh Esfahani SH, Kazemi M, Goharian V, et al. Comparison between chondrogenic markers of differentiated chondrocytes from adipose derived stem cells and articular chondrocytes in vitro. *Iran J Basic Med Sci* 2013; 16(6): 763-73.
- Colter DC, Sekiya I, Prockop DJ. Identification of a subpopulation of rapidly self-renewing and multipotential adult stem cells in colonies of human marrow stromal cells. *Proc Natl Acad Sci USA* 2001; 98(14): 7841-5.
- Breen A, Dockery P, O'Brien T, Pandit A. Fibrin scaffold promotes adenoviral gene transfer and controlled vector delivery. *J Biomed Mater Res A* 2009; 89(4): 876-84.
- Chen G, Ushida T, Tateishi T. A biodegradable hybrid sponge nested with collagen microsponges. *J Biomed Mater Res* 2000; 51(2): 273-9.
- Lahiji A, Sohrabi A, Hungerford DS, Frondoza CG. Chitosan supports the expression of extracellular matrix proteins in human osteoblasts and chondrocytes. *J Biomed Mater Res* 2000; 51(4): 586-95.
- Shikanov A, Xu M, Woodruff TK, Shea LD. Interpenetrating fibrin-alginate matrices for in vitro ovarian follicle development. *Biomaterials* 2009; 30(29): 5476-85.
- Zhou H, Xu HH. The fast release of stem cells from alginate-fibrin microbeads in injectable scaffolds for bone tissue engineering. *Biomaterials* 2011; 32(30): 7503-13.
- Morris VJ. Gelation of polysaccharides. In: Mitchell JR, Ledward DA, editors. *Functional properties of food macromolecules*. New York, NY: Elsevier; 1986. p. 121-8.
- Hashemibeni B, Razavi Sh, Esfandiary E, Karbasi S, Mardani M, Sadeghi F, et al. Effect of transforming growth factor- $\beta$ 3 and bone morphogenetic protein-6 growth factors on chondrogenic differentiation of adipose-derived stem cells in alginate scaffold. *J Isfahan Med Sch* 2010; 28(112): 607-20. [In Persian].
- Hashemibeni B, Razavi Sh, Esfandiary E, Karbasi S, Mardani M, Nasresfahani M. Induction of chondrogenic differentiation of human adipose-derived stem cells with TGF- $\beta$ 3 in pellet culture system. *Iran J Basic Med Sci* 2008; 11(1): 10-7.
- Langer R, Vacanti JP. Tissue engineering. *Science* 1993; 260(5110): 920-6.
- Henrotin YE, Labasse AH, Jaspard JM, de Groote DD, Zheng SX, Guillou GB, et al. Effects of three avocado/soybean unsaponifiable mixtures on metalloproteinases, cytokines and prostaglandin E2 production by human articular chondrocytes. *Clin Rheumatol* 1998; 17(1): 31-9.
- Mauviel A, Daireaux M, Hartmann DJ, Galera P, Loyau G, Pujol JP. Effects of unsaponifiable extracts of avocado/soy beans (PIAS) on the production of collagen by cultures of synoviocytes, articular chondrocytes and skin fibroblasts. *Rev Rhum Mal Osteoartic* 1989; 56(2): 207-11. [In French].
- Hunter DJ. Pharmacologic therapy for osteoarthritis--the era of disease modification. *Nat Rev Rheumatol* 2011; 7(1): 13-22.
- Sadeghian M, Hashemibeni B, Mardani M, Amirpoor N, Aliakbari M. Comparing the effect of platelet rich plasma (PRP) and fetal bovine serum (FBS) on proliferation and survival of adipose-derived stem cells in fibrin scaffolds. *J Isfahan Med Sch* 2015; 32(317): 2299-2311. [In Persian].
- Yang SH, Wu CC, Shih TT, Chen PQ, Lin FH. Three-dimensional culture of human nucleus pulposus cells in fibrin clot: Comparisons on cellular proliferation and matrix synthesis with cells in alginate. *Artif Organs* 2008; 32(1): 70-3.
- Valiani A, Hashemibeni B, Esfandiary E, Ansar MM, Kazemi M, Esmaeili N. Study of carbon nano-tubes effects on the chondrogenesis of human adipose derived stem cells in alginate scaffold. *Int J Prev Med* 2014; 5(7): 825-34.
- Rowley JA, Madlambayan G, Mooney DJ. Alginate hydrogels as synthetic extracellular matrix materials. *Biomaterials* 1999; 20(1): 45-53.
- Wang ZY, Zhang QZ, Konno M, Saito S. Sol-gel transition of alginate solution by the addition of various divalent cations:  $^{13}\text{C}$ -nmr spectroscopic study. *Biopolymers* 1993; 33(4): 703-11.
- Esfandiary E, Valiani A, Hashemibeni B, Moradi I, Narimani M. The evaluation of toxicity of carbon nanotubes on the human adipose-derived-stem cells in-vitro. *Adv Biomed Res* 2014; 3: 40.
- Yan J, Dong L, Zhang B, Qi N. Effects of extremely low-frequency magnetic field on growth and differentiation of human mesenchymal stem cells. *Electromagn Biol Med* 2010; 29(4): 165-76.
- Creedy CM, O'Neill CF, Arulanandam BP, Sylvia VL, Navara CS, Bizios R. Mesenchymal stem cell osteodifferentiation in response to alternating electric current. *Tissue Eng Part A* 2013; 19(3-4): 467-74.
- Ruettger A, Neumann S, Wiederanders B, Huber R. Comparison of different methods for preparation and characterization of total RNA from cartilage samples to uncover osteoarthritis in vivo. *BMC Res Notes* 2010; 3: 7.
- Kuo CK, Li WJ, Mauck RL, Tuan RS. Cartilage tissue engineering: its potential and uses. *Curr Opin Rheumatol* 2006; 18(1): 64-73.
- Guilak F, Cohen DM, Estes BT, Gimble JM, Liedtke W, Chen CS. Control of stem cell fate by physical interactions with the extracellular matrix. *Cell Stem Cell* 2009; 5(1): 17-26.
- Yang IH, Kim SH, Kim YH, Sun HJ, Kim SJ, Lee JW. Comparison of phenotypic characterization between "alginate bead" and "pellet" culture systems as chondrogenic differentiation models for human mesenchymal stem cells. *Yonsei Med J* 2004; 45(5): 891-900.

29. Zhao L, Weir MD, Xu HH. An injectable calcium phosphate-alginate hydrogel-umbilical cord mesenchymal stem cell paste for bone tissue engineering. *Biomaterials* 2010; 31(25): 6502-10.
30. Buser Z, Liu J, Thorne KJ, Coughlin D, Lotz JC. Inflammatory response of intervertebral disc cells is reduced by fibrin sealant scaffold in vitro. *J Tissue Eng Regen Med* 2014; 8(1): 77-84.
31. Chien CS, Ho HO, Liang YC, Ko PH, Sheu MT, Chen CH. Incorporation of exudates of human platelet-rich fibrin gel in biodegradable fibrin scaffolds for tissue engineering of cartilage. *J Biomed Mater Res B Appl Biomater* 2012; 100(4): 948-55.
32. Stevens MM, Qanadilo HF, Langer R, Prasad S, V. A rapid-curing alginate gel system: utility in periosteum-derived cartilage tissue engineering. *Biomaterials* 2004; 25(5): 887-94.
33. Stevens MM, Marini RP, Martin I, Langer R, Prasad S, V. FGF-2 enhances TGF-beta1-induced periosteal chondrogenesis. *J Orthop Res* 2004; 22(5): 1114-9.
34. Ma HL, Hung SC, Lin SY, Chen YL, Lo WH. Chondrogenesis of human mesenchymal stem cells encapsulated in alginate beads. *J Biomed Mater Res A* 2003; 64(2): 273-81.
35. Altinel L, Saritas ZK, Kose KC, Pamuk K, Aksoy Y, Serteser M. Treatment with unsaponifiable extracts of avocado and soybean increases TGF-beta1 and TGF-beta2 levels in canine joint fluid. *Tohoku J Exp Med* 2007; 211(2): 181-6.



## Comparing the Effects of Transforming Growth Factor Beta1 (TGF-β1) and Piascledine on the Expression of Collagen II, X and Aggrecan Genes in Chondrogenesis of Human Adipose-Derived Stem Cells in Fibrin Alginate Composite Scaffold

Hadi Didehvar<sup>1</sup>, Farhad Golshan-Iranpoor<sup>2</sup>, Ali Valiani<sup>2</sup>, Batool Hashemibeni<sup>3</sup>, Mojtaba Esmaeeli<sup>1</sup>

### Original Article

#### Abstract

**Background:** Cartilage injuries are the leading cause of disability in the elderly in developed countries. In addition, articular cartilage has a limited ability to repair. Current treatment methods for cartilage tissue injuries lead to fibrous tissue formation. Cell therapy is a treatment in which stem cells using tissue engineering can be differentiated into chondrocytes by using growth factors and scaffolds. Since growth factors such as transforming growth factor beta1 (TGF-β) leads to hypertrophy of cartilage chondrocytes tissue and many scaffolds are weak in terms of mechanics and stability, it is essential to achieve the appropriate scaffolds and inducing factors. Studies have shown that fibrin alginate scaffold is appropriate in terms of mechanical and stability and piascledine increases the cartilage-specific genes expression. Therefore, in this study the chondrogenic effect of TGF-β1 and piascledine on adipose derived stem cells in fibrin alginate scaffold was compared and evaluated.

**Methods:** Fat samples were obtained from three persons. Adipose derived stem cells (ADSCs) was extracted from adipose tissue and proliferated. Then the cells were transferred to the fibrin alginate scaffold and the cells were cultured for 21 days under the influence of the induction medium. The rate of proliferation and survival of cells was evaluated by MTT [3 (4,5-dimethylthiazol-2-yl)-2,5-diphenyltetrazolium-bromide] method and the rate of gene expression of Aggrecan and Collagen II and X was evaluated with Real-time polymerase chain reaction (Real-Time PCR) method.

**Findings:** The results showed that proliferation rate and survival of cells in a fibrin alginate scaffold in the group containing Piascledine increased compared to the other groups, but this increase is not significant ( $P > 0.050$ ). Also, Piascledine increased collagen II gene expression ( $P < 0.001$ ) and reduced collagen X gene expression when compared to TGF-β1.

**Conclusion:** Piascledine was found as a proper effective inducer in chondrogenic differentiation of human adipose derived stem cells cultured in fibrin alginate scaffold.

**Keywords:** Adipose derived stem cell, Piascledine, Chondrogenesis, Transforming growth factor beta1

**Citation:** Didehvar H, Golshan-Iranpoor F, Valiani A, Hashemibeni B, Esmaeeli M. **Comparing the Effects of Transforming Growth Factor Beta1 (TGF-β1) and Piascledine on the Expression of Collagen II, X and Aggrecan Genes in Chondrogenesis of Human Adipose-Derived Stem Cells in Fibrin Alginate Composite Scaffold.** J Isfahan Med Sch 2016; 34(373): 157-65

1- MSc Student, Department of Anatomical Sciences, School of Medicine AND Student Research Committee, Isfahan University of Medical Sciences, Isfahan, Iran

2- Assistant Professor, Department of Anatomical Sciences, School of Medicine, Isfahan University of Medical Sciences, Isfahan, Iran

3- Associate Professor, Department of Anatomical Sciences, School of Medicine, Isfahan University of Medical Sciences, Isfahan, Iran

**Corresponding Author:** Batool Hashemibeni, Email: hashemibeni@med.mui.ac.ir